

面向 IS-IS 网络的 NetMonitor 系统的设计与实现

姚忠将¹ 刘金刚¹ 景全亮¹ 李萌¹ 毕经平²

¹(首都师范大学信息工程学院 北京 100048)

²(中国科学院计算技术研究所 北京 100190)

摘要 随着互联网应用的日趋广泛,网络的正常运行变得越来越重要,网络路由监测成为网络管理的重要组成部分。网络路由监测最常用的方法就是分析内部网关协议报文。IS-IS(Intermediate system to Intermediate system)协议是目前 ISP 广泛应用在大型网络中的内部网关协议之一。在对目前比较成熟的面向 IS-IS 网络的路由监测系统充分研究的基础上,设计并实现了一款针对 IS-IS 网络的 NetMonitor 系统。此系统较现有系统占用网络资源少,部署简单,能提供可视化的网络拓扑以便客观发现并分析网络中的异常。介绍系统整体架构与模块划分,详细阐述路由异常发现方法,提出网络采集设备的部署方案。通过使用仿真网络环境对系统测试,实验结果证实该系统满足网络监测对可靠性和实时性的要求,为网络运营管理提供决策依据。

关键词 IS-IS 网络监测 内部网关协议 可视化

中图分类号 TP393.4

文献标识码 A

DOI:10.3969/j.issn.1000-386x.2015.09.027

DESIGN AND IMPLEMENTATION OF IS-IS NETWORK-ORIENTED NETMONITOR SYSTEM

Yao Zhongjiang¹ Liu Jin'gang¹ Jing Quanliang¹ Li Meng¹ Bi Jingping²

¹(College of Information Engineering, Capital Normal University, Beijing 100048, China)

²(Institute of Computing Technology, Chinese Academy of Sciences, Beijing 100190, China)

Abstract With the growing wider application range of Internet, the normal operation of network becomes increasingly important, to monitor network routings becomes an important part of network management. The most common methods of monitoring the network routings are to analyse the interior gateway protocol packets. IS-IS protocol is currently one of the interior gateway protocols which the ISP widely uses in large-scale network. Based on the full study of relatively mature IS-IS network-oriented routing monitoring system, we design and implement a NetMonitor system for IS-IS network. This system takes up less network resources than the existing system, is simple in deployment, and can provide visualised network topology in order to objectively identify and analyse network anomalies. This paper describes the overall system architecture and module division, elaborates the finding method of routing anomalies, and presents deployment scheme of network acquisition devices. By using a simulated network environment to test the system, the experimental results confirm that the system meets the requirements of network monitoring on reliability and real-time property, and provides the basis of decision-making for network operations management.

Keywords Intermediate system to intermediate system (IS-IS) Network monitoring Interior gateway protocol Visualisation

0 引言

随着计算机网络的发展,互联网在经济、政治、军事和生活等各个领域发挥越来越重要的作用^[1]。网络的良好运行关系到国家的发展与安全,这对网络的可靠性提出了非常严苛的要求。

在网络运行中,经常发生网络异常事件:路由器配置异常导致无法建立邻居关系,自然灾害造成物理链路的损坏,网络拥塞致使报文存活时间内不能抵达目的地址等。这些都给用户造成严重困扰。例如,2013 年 9 月 24 日,由于“双网络崩溃”,网络冗余系统停止工作,整个 Gmail 系统大约 29% 的邮件出现短暂延迟的现象,对社会生产生活造成了极大的影响^[2];2013 年 4 月 16 日美国航空公司的计算机网络出现故障,导致近 700 个航

班取消,对社会生活造成严重的影响^[3];2013 年 8 月 8 日由于网络异常,苹果公司旗下 iTunes 应用商店和 FaceTime 网络服务出现网络异常,对苹果公司及其产品用户造成很大影响^[4]。

近几年,IS-IS 协议在网络运营商中的使用范围逐渐扩大^[5],但是针对这种网络的网络路由监测系统却很少。目前的路由监测系统使用的技术要么部署困难增加成本;要么占用网络资源多;要么采集的信息量大,但是冗余度也高。

为了克服目前网络监测系统中的这几个弊端,本文设计并实现了一款针对 IS-IS 网络的功能较强部署简单占用相对少资源的监测系统。最后,通过实验验证了本系统能够很好的监测网络状态,及时发现网络异常并产生告警。

收稿日期:2014-03-03。国家自然科学基金项目(61303243)。姚忠将,硕士生,主研领域:计算机网络,网络安全,网络监测。刘金刚,教授。景全亮,硕士生。李萌,硕士生。毕经平,研究员。

1 相关工作

目前的网络路由监测系统 NRM(Network Route Monitor System)根据采用的技术大体划分为两类:基于 SNMP 协议的网络监测系统和基于 IS-IS 数据包信息的网络监测系统。

基于 SNMP 协议的网络监测系统利用 SNMP 中的 IS-IS MIB 资源库提供的网络信息实现拓扑构建、接口监控等,利用 trap 功能实现异常告警。利用这种技术的较成熟产品包括 Tivoli NetView (IBM)^[17]、MasterScope (NEC)^[18]、SiteView (游龙)^[19] 等。这类产品均能实现拓扑可视化、性能分析和异常告警,但是要用到路由器日志、TraceRoute 工具来辅助^[17-19],增加了部署负担和网络传输负担^[6]。

基于 IS-IS 协议数据包信息的网络监测系统利用了链路状态报文,此报文中包含了路由器的中间系统可达信息、可达 IP 网段、区域地址等信息。利用这种技术的成熟产品包括 Route Explorer (Packet Design)^[7]、U2520 (华为)^[8]、路由管理软件 (东软)^[9] 等。这类产品也能满足数据采集、拓扑发现、路由计算功能,但是,分析发现这些系统大多缺乏全面的异常发现与告警功能^[7-9]。另外,大规模网络中,要在不同区域分别部署,增加了部署成本和难度^[10]。

通过分析,笔者认为上述两大类 NRM 系统不能兼备彼此所具有的优势功能,有必要设计并实现部署简单、占用网络资源少、功能较强的 NetMonitor 系统。

2 IS-IS 网络

2.1 IS-IS 概述

中间系统到中间系统协议 IS-IS 是由 ISO/IEC[1059] (国际标准化组织制定)所规范的协议,是一种与 OSPF 协议相似的内部网关协议,是电信运营商普遍采用的协议之一^[11]。IS-IS 的设计主要是为了满足以下需求:

- CLNS 网络在路由域内执行路由选择协议功能;
- 为网络提供最佳路由;
- 网络出现故障后能快速收敛;
- 提供无环路网络;
- 提供网络可扩展性和合理利用资源的需求。

基于这些需要设计出来的最初的 IS-IS 协议,仅支持 CLNS 网络环境,而不支持 IP 网络环境中的路由信息交换。后来, IETF 在 RFC1195 中对 IS-IS 进行了修改和扩展,扩展后的协议称为集成 IS-IS。集成 IS-IS 是一个能够同时处理多个网络层协议的路由选择协议。这种协议可以支持纯 CLNP 网络或者纯 IP 网络,或者同时支持 CLNP 和 IP 网络^[12]。所谓 IS-IS 网络就是配置了 IS-IS 网络协议并开启 IS-IS 服务的网络。

2.2 IS-IS 网络

在支持 IS-IS 协议的网络中,支持两层路由 (Level-1 与 Level-2)。其中,Level-1 (以下简称 L1) 是拥有相同区域地址前缀的一组 ES 和 IS,类似于 OSPF 中的区域;Level-2 (以下简称 L2) 是可以拥有不同区域地址前缀的一系列 IS,构成了网络的骨干部分。支持 IS-IS 协议的路由器分为三类:L1 路由器、L2 路由器和 L1/2 路由器,其中 L1/2 路由器类似于 OSPF 中的 ABR,用于 L1 与 L2 之间的衔接。每一个路由器都有区别于 IP 地址的标识其唯一的 Net 地址。

IS-IS 作为链路状态协议,每个支持该协议的路由器都会在一定的时间间隔内洪泛 LSP 报文,宣告本地路由器及与本路由器连接链路的当前状态。在网络中 (包括区域网和骨干网) 的路由路径计算采用的是最短路径优先算法 (SPF, Shortest Path First)。在区域内用 SPF 计算默认路由,在骨干网同样通过 SPF 算法找到可以转发到目的区域的 L1/2 路由器。

在 IS-IS 网络监测中只需要获取到包含网络信息的链路状态数据包,就可以及时获知网络中的拓扑信息,发现网络中的异常状况。

3 NetMonitor 系统

3.1 系统架构

NetMonitor 系统通过采集链路状态报文^[6],获取实时准确的网络状态信息;通过分析报文信息,构建网络拓扑,发现网络中的异常并做出相应的告警处理。

系统结构如图 1 所示,将系统分为报文采集子系统和报文分析子系统。其中,报文采集子系统部署在与网络中路由器具有邻居关系的虚拟路由器中,负责获取物理路由器转发来的 LSP 报文。采集子系统包括:配置模块、报文采集模块、发送模块;报文分析子系统要接收采集子系统发来的 LSP 报文,根据报文构建网络拓扑,发现网络中的异常并告警,将所有的拓扑信息告警信息存入数据库。包括报文接收模块、拓扑构建模块、异常发现和告警模块、路由计算模块、数据同步模块等五部分。

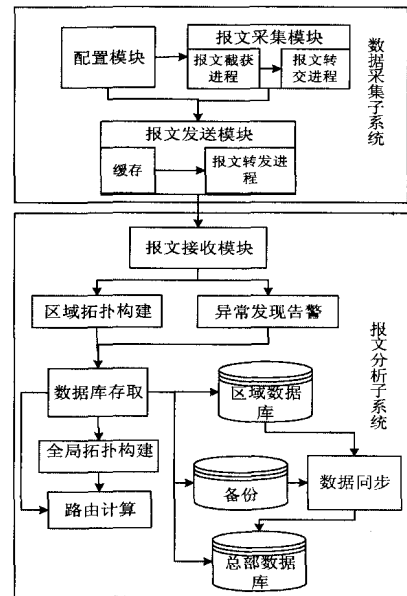


图1 系统总体结构框图

报文采集子系统利用配置文件配置好采集模块和发送模块。报文采集模块采集到报文后提交给发送模块。发送模块根据配置好的接口信息发送给分析子系统。分析子系统收到报文后将其 TLV 中的信息解析出来。然后,根据这些信息实现网络拓扑的构建、异常发现与告警、路由计算。

3.2 系统实现

在 IS-IS 网络中,链路状态报文携带的 TLVs 中包含了网络的链路状态信息。LSP 报文洪泛机制定时洪泛链路状态报文,而且在路由器运行状态发生变化时报文也会自动洪泛^[14]。系统通过获取链路状态报文就可以获得实时的网络状态。

与 OSPF 网络中的被动式监测不同^[15], IS-IS 网络中报文是频繁发出的, 分析报文得到网络状态实时可靠。在 IS-IS 网络中具有定时洪泛机制和网络变化触发洪范机制。因此网络检测设备能被动的接收洪泛来的 LSP 报文, 实现被动式采集报文监测网络状态^[16]。

3.2.1 报文采集子系统

报文采集子系统是修改虚拟路由器来实现的。该子系统利用配置文件配置系统采集和发送报文所需的转发接口等各种参数。通过修改虚拟路由器的 LSP 进程函数实现截获报文, 然后将获取的报文提交给发送模块。同时, 在虚拟路由器的发送报文进程函数修改发送命令, 实现虚拟路由器的隐藏。这样在可视化网络拓扑时不会绘出此虚拟路由器, 还原真实网络结构。报文发送模块利用套接字与分析系统建立联系传送报文。

3.2.2 报文分析子系统

在分析子系统中, 接收模块接收采集子系统发来的报文并传递给上层的拓扑构建模块。拓扑构建模块将报文中的 TLVs 解析并构建成为路由器、邻接关系、路由器内部子网信息等几大类拓扑信息。在构建全网拓扑的时候, 通过对比方法将 L1 和 L2 重叠的路由器去除拼接成全网拓扑。对比新接收的报文信息与内存数据库信息, 发现链路异常、路由器异常, 通过 SNMP trap 方式向上层反应。

路由计算方法如图 2 所示, 首先根据区域号判断源路由器和目的路由器是否在同一区域内。

如果在同一区域内, 直接利用 SPF 算法, 找到到达目的路由器的最优路径;

如果不在同一区域:

第一步, 找到源路由器到最近的 L1/2 路由器作为默认路由设为 R0;

第二步, 在 L2 层内, 根据 SPF 算法再计算此默认路由器 R0 到达目的路由器所在区域的 L1/2 路由器的最短路径;

第三步, 在目的区域内再次使用 SPF 算法找到 L1/2 路由器到目的路由器的最短路径;

第四步, 将三段最短路径拼接完成全网路由的计算^[13]。

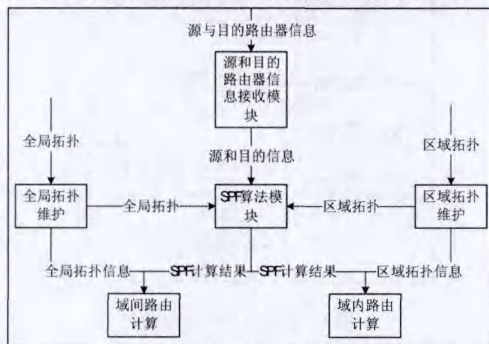


图2 路由计算图

3.3 系统部署

一台报文采集设备可以配置多个 Net 地址。这些地址的 AreaID 可以不同, 即一台路由器可以属于不同的区域。运行路由监测设备的服务器与多个区域的路由器建立隧道, 并在隧道的接口启动 IS-IS 服务, 使报文采集设备与多个区域的路由器建立邻接关系。这样一台监测设备可以同时采集多个区域的报文。给多个区域安装一台监测设备, 最少可以支持 500 台路由器, 实现半集中式部署。如图 3 所示。

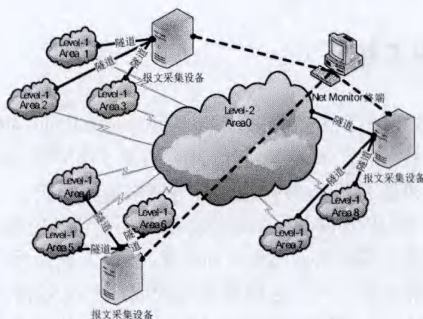


图3 报文采集设备部署图

集中部署方案使多台采集设备采集多个区域的链路状态报文, 不仅节省人力物力, 而且降低设备部署成本。

4 实验结果与分析

为了验证系统的收敛性和支持的网络规模, 设计并搭建了与实际环境的相近的网络拓扑。

本实验与具体的路由域无关。实验中使用思科 c7200 系列路由器搭建了如图 4 所示的一个路由域。这个路由域由三个 L1 区域和一个 L2 骨干区域组成, 即这个路由域是一个两层结构的网络。每个 L1 的 Area 包含 150 台路由器, L2 中包含 50 台路由器。实验拓扑图如图 4 所示, 实验平台主要参数见表 1。

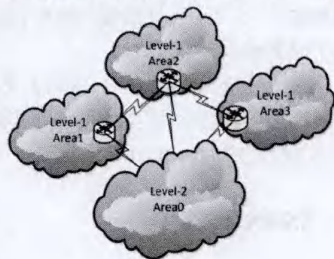


图4 实验拓扑图

表1 实验平台主要参数

拓扑运行平台		虚拟路由器运行平台	
CPU	E6700	CPU	E5300
内存	2 GB	内存	2 GB
频率	3.2 GHz	频率	2.6 GHz
操作系统	Windows 7	操作系统	fedora 18
仿真软件	GNS3	虚拟路由器	Quagga

4.1 系统功能

图 5 是系统运行的截图。图中给出了实验所用的拓扑图, 在拓扑图的上部绘出了路径图, 右侧列列出发生的异常告警信息。拓扑发现、路由计算、异常发现与告警、数据存储等异常检测功能完备。

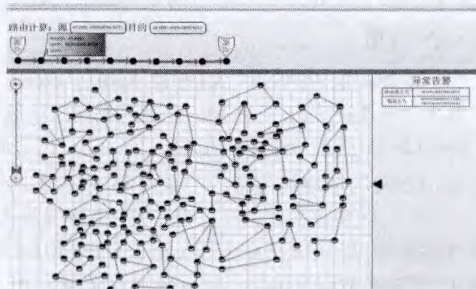


图5 功能显示图

4.2 系统收敛性

在性能测试中,为了刻画系统的收敛性,定义了两个评价指标:拓扑发现时间,异常发现告警时间。

拓扑发现时间(收敛时间)计算公式如下:

$$\text{SumTime} = T_i + (T_r + T_d) \times N_r$$

其中, T_i 为初始化采集系统时间, T_r 表示 LSP 的处理时间, T_d 表示 LSP 报文的传输时延, N_r 表示网络中的路由器数量。

实验中考虑到大规模网络的地域因素,将两条报文之间的发送间隔设置为 200 ms。包含全部网络状态信息的整个 LSPs 传输到 LSP 报文采集设备的时延(500×2000 Bytes)/100 Mbps = 0.08 s,处理时延 500×200 ms = 100 s。LSP 报文采集子系统的初始化时间 15 秒。所以首次发现全网拓扑时间约 2 分钟。

4.2.1 系统初次发现全网

实验拓扑发现结果如图 6 所示。

在实验中,本系统首次发现全网拓扑的走势如图 7 中所示。系统启动后,收到采集设备附近路由产生的链路状态数据报文,拓扑发现较慢,几分钟后,收到远处不同地理位置的路由产生的报文,造成被发现的路由器快速增长,能在较短时间内发现全部拓扑。

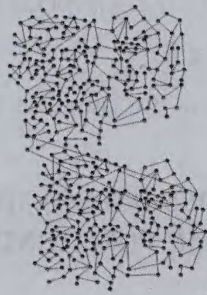


图 6 拓扑发现结果图

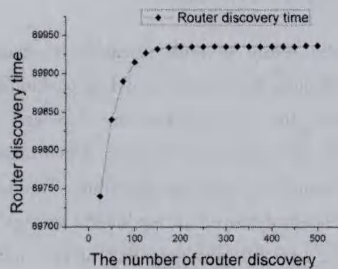


图 7 LSP 报文采集时间图

通过十次实验,首次发现全网时间结果如表 2 所示。

表 2 大规模网络首次发现拓扑时间

次数	1	2	3	4	5	6
时间(s)	370	401	380	346	378	367
次数	7	8	9	10	平均	
时间(s)	349	373	339	364	366.7	

十次实验获得的首次发现全网拓扑时间为 366.7 s (6.1117 分钟),最差情况是 401 s (6.6833 分钟),最好情况是 346 s (5.7667 分钟)。实验证明本系统能够在 15 分钟内首次发现多区域至少 500 台路由器的大规模网络拓扑。

4.2.2 系统异常发现

异常发现在实验环境测试中,当两台路由器之间的链路 metric 值变化,即两台路由器的邻接关系发生异常。图 8 的直方图直观显示了发生异常、产生新 LSP 报文和将变化信息更新到数据库三个事件发生

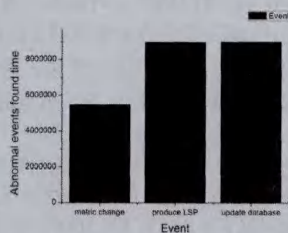


图 8 邻接关系丢失事件图

的时间关系。

当 metric 值发生变化时在 5 472 000 μs,而在产生 LSP 进行洪泛的时间是 8 991 030 μs。8 991 030 - 5 472 000 = 3 519 030 μs,约为 3.5 s,能够实时快速发现异常并告警。

5 结 语

本文对 IS-IS 协议进行深入的研究并在此基础上设计并实现了基于 IS-IS 网络的 NRM 系统。此系统利用报文采集设备被动式采集链路状态数据报文实时获取网络运行状态。具有部署简单、占用网络资源少等特点。系统目前能够快速获取全网拓扑,迅速捕捉网络中的故障和链路变化并产生告警。

路由监测在互联网中的地位越发重要,是未来网络研究的一个重要方向。本系统目前已经应用在网络路由异常发现中。鉴于目前本系统功能并非足够完善,未来的研究方向除去流量监控及动态路由计算外,还有需要进一步挖掘。

参 考 文 献

- [1] Lautaro D, Jermoe, Francois, et al. Efficient multidimensional aggregation for large scale monitoring[C]//Proceeding lisa'12 Proceeding of the 26th international conference on Large Installation System Administration: strategies, tools, and techniques, 2012:163-180.
- [2] Gmail 网络邮件延迟事件[EB/OL]. <http://ndfinance.ooeee.com/html/201309/25/298680.html>.
- [3] 2013 年 4 月 16 日美国航空公司计算机网路故障事件[EB/OL]. <http://tech.sina.com.cn/i/2013-04-17/10438248489.shtml>.
- [4] 2013 年 8 月 8 日苹果 iTunes 应用商店网络异常事件[EB/OL]. <http://www.news.maiyadi.com/news-920031-1-1.html>.
- [5] 颜志杰. IS-IS 多拓扑路由在路由器上的设计与实现[D]. 北京:北京交通大学, 2010:4-7.
- [6] 王卫华, 焦利, 金跃辉. IS-IS 路由性能检测系统的设计与实现[J]. 计算机工程, 2009, 35(2):109-115.
- [7] Route Explorer[EB/OL]. <http://packetdesign.com/products/route-explorer>.
- [8] 关博鹏. 华为 U2520 系统拓扑模块的设计与实现[D]. 北京:北京交通大学, 2010.
- [9] 路由管理软件[EB/OL]. <http://www.eastcom-sw.com/web/Product.aspx?ID=20>.
- [10] Kristian S. Implementation of a simulation platform for IS-IS and simulation of Telia's IP network[D]. Gothenburg: Chalmers University of Technology November, 2001.
- [11] Pierre Francois, Clarence Filsfil, John Evans, et al. Achieving sub-second IGP convergence in large IP networks[J]. ACM SIGCOMM Computer Communication Review, 2005, 35(3):35-44.
- [12] IS-IS 动态路由协议[S]. <http://xuanbo.blog.51cto.com/499334/201504>.
- [13] Abe Martey, CCIE. IS-IS 网络设计解决方案[M]. 凡藏, 译. 北京:人民邮电出版社, 2002:33-117.
- [14] Cisco. IS-IS Fast-Flooding of LSPs Using the fast-food Command. Technical document[EB/OL]. http://www.cisco.com/en/US/docs/ios/12_0s/feature/guide/istfld.html.
- [15] Shaikh A, Goyal M, Rajan R. An OSPF Topology Server: Design and Evaluation[J]. IEEE Journal on Selected Areas in Communications, 2002, 20(4):746-755.

(下转第 160 页)

且保留了部分激活值较高的神经元,突出了图像中幅值的变化,能够更好的反应输入数据特性。

(3) 算法训练所得特征可视化对比

自动编码器的核心是通过重构输入数据学习数据的相关表示,即学习特征。对特征进行可视化操作可以让我们更直观的观察所学特征的好坏。可视化操作公式为:

$$x_j = \frac{W_y^{(1)}}{\sqrt{\sum_{j=1}^{100} (W_y^{(1)})^2}} \quad (8)$$

其中, x_j 为每个小方块的像素值,每个小方块 100 个像素。我们用式(8)算出各像素的值、把它们组成一幅图像,如图 4 所示。图中每个小方块都给出了一个输入图像,即表示一个学习到的特征。它可使这 100 个隐藏单元中的某一个获得最大激励。

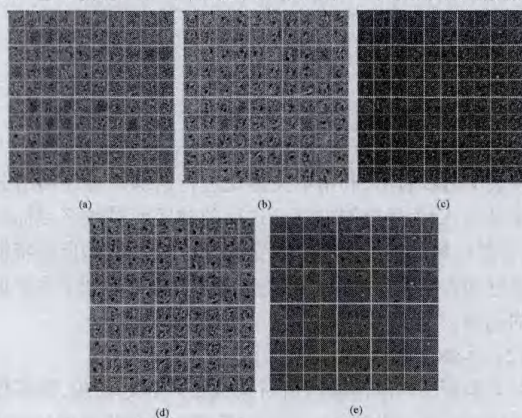


图 4 权重可视化对比结果

图 4 对比了不同算法训练得到的第一隐藏层特征,算法排列顺序与图 3 一致。可以看出不同的隐藏单元学会了在图像的不同位置和方向进行边缘检测。本文算法学习得到的特征相比前 4 种算法更有针对性,AE^[4],SAE^[6]和 DAE^[7]学习得到的特征都有过度学习的倾向,图 4(a)、(b)、(c)中单个特征显得杂乱无章,没有明显的方向性,这是因为单个神经元试图拟合整体数据导致学习得到的特征没有明显的针对性,这样就很难进行好的边缘检测。本文算法所学特征相对更有针对性,图 4(e)单幅图中学习到的点和线更明显也更集中,这些点和线可以对图像边缘进行有效的检测从而更好的表示数字图像。

(4) 算法测试误差与训练误差对比

通过对比测试误差和训练误差可以有效判断模型抑制过拟合的能力。图 5 给出了算法训练误差和测试误差曲线图,表 2 列出了最终的训练和测试误差值。

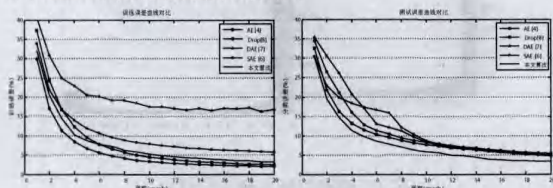


图 5 算法训练误差和分类误差曲线对比图

表 2 算法训练/测试误差(%)对比

算法	AE ^[4]	Drop ^[8]	DAE ^[7]	SAE ^[6]	本文算法
训练正确率	97.6	96.9	84.5	94.7	95.4
测试正确率	91.1	92.2	92.7	91.7	94.6

由图 5 和表 2 可以看出,加噪声自动编码器抑制过拟合的

效果最好,训练误差反而低于测试误差,这是因为在训练阶段加入了噪声导致训练误差明显增大。本文算法效果次之,对比原始算法训练误差虽有所下降但测试误差明显提高,特别是在降低样本集大小的情况下取得了几种算法中较好的效果。

4 结 语

本文提出了一种结合侧抑制机制的自动编码器训练算法。设计了一种符合稀疏条件的神经元侧抑制筛选模型,通过阈值的选取和侧抑制函数的构建抑制隐藏层神经元输出,又通过构造符合输入数据本身分布的抑制限满足了输出的稀疏性,保留了激活输出较大的神经元从而突出了数据的幅值信息。与几种训练算法的对比试验表明该方法训练得到的特征更加实用有效,能有效降低模型矩阵运算复杂度,提高分类准确率和模型的泛化能力。

参 考 文 献

- [1] Alex Krizhevsky, Ilya Sutskever, Geoff Hinton. Image net classification with deep convolutional neural networks[C]//Advances in Neural Information Processing Systems(NIPS), 2012:1106-1114.
- [2] Huang J, Kingsbury B. Audio-visual deep learning for noise robust speech recognition[C]//ICASSP, 2013:7596-7599.
- [3] Naiyan Wang, Dit Yan Yeung. Learning a Deep Compact Image Representation for Visual Tracking[C]//Advances in Neural Information Processing Systems(NIPS), 2013:1106-1114.
- [4] Pierre Baldi, Zhiqin Lu. Complex-valued autoencoder[J]. Neural Networks, 2012, 33(1):136-147.
- [5] Sainath T N, Watson Res T J. Autoencoder bottleneck features using deep belief network[C]//ICASSP, 2012:4153-4156.
- [6] Ngiam J, Coates A, Lahiri A, et al. On optimization methods for deep learning[C]//Proceedings of the 28th International Conference on Machine Learning (ICML), 2011:265-272.
- [7] Pascal Vincent, Hugo Larochelle, Yoshua Bengio. Extracting and composing robust features with denoising autoencoders[C]//International Conference on Machine Learning (ICML), 2008:1096-1103.
- [8] Geoff E Hinton, Nitish Srivastava, Alex Krizhevsky, et al. Improving neural networks by preventing co-adaptation of feature detectors[C]. The Computing Research Repository (CoRR), 2012:1207-1215.
- [9] Ratliff F, Hartline H. The responses of the limulus optic nerve fibers to patterns of illumination on the receptor mosaic[J]. J Gen Physiol, 1959, 42(6):1241-1255.
- [10] Simon Haykin. 神经网络与机器学习[M]. 申富饶, 徐焯, 郑俊, 等译. 3 版. 北京:机械工业出版社, 2011:412-416.

(上接第 115 页)

- [16] Yulan Z, Yingze L, Chunmei H R. Sa. Research on the Conformance Testing of the IS-IS Routing Protocol On TTCN-3[C]//Computational Intelligence and Software Engineering, 2009:1-4.
- [17] Tivoli Netview[EB/OL]. <http://www-01.ibm.com/software/e/tivoli/products/netview/>.
- [18] Masterscope[EB/OL]. <http://www.masterscope.com.cn/in dex.html>.
- [19] SiteView[EB/OL]. <http://www.siteview.com/>.